

九州大学工学部

正員・糸井 和朗

正員 神野 健二

正員 上田 年比古

[1] まえがき 亂流中における微細粒子の挙動は、ダムや沈殿池における濁水の清澄化過程等、工学上重要な問題である。本報では、乱れ強度が時間的に減衰する3次元一様等方性乱流中の微細粒子の運動特性を調べる為、粒子運動方程式の数値計算を行うと同時に、粒子運動方程式から導かれる速度相関方程式を用い、3次元一様等方性乱流場の空間的な速度相関構造と重力波降する微細粒子の挙動との関係について検討した。

[2] 一様等方性乱流場の空間的速度相関構造

流れの場のFourier級数表現にもとづいた Orszag and Pattersonによるスペクトル法を用いて3次元一様等方性乱流場の数値シミュレーションを行った¹⁾。数値計算の条件は、一边 $l = 2.0 \text{ cm}$ の周期的境界条件を満足する立方体であり、動粘性係数 $\nu = 0.013 \text{ cm}^2/\text{sec}$ 、初期乱れ強度 $U_0^2 = 0.4225 \text{ cm}^2/\text{sec}^2$ である。距離ベクトル \mathbf{r} だけ離れた2点間の速度相関関数 $R_{ij}(t, r)$ は、一様等方性乱流場において、2つのスカラー関数 (i) 縦速度相関係数 $f(t, r)$ 、(ii) 横速度相関係数 $g(t, r) = f(t, r) + \frac{1}{2}r^2 f(t, r)/\partial r$ を用いて次式で表わされる。

$$R_{ij}(t, r) = U^2(t) \left(\frac{f(t, r) - g(t, r)}{r^2} \right) \delta_{ij} + g(t, r) \delta_{ij} \quad \dots \dots \quad (1)$$

ここに、 $U^2(t)$: 乱れ強度、 δ_{ij} : 2点間のデルタ、 $r^2 = r_i^2 + r_j^2 + r_k^2$ 、 $i, j, k = 1, 2, 3$ である。式(1)において、2方向(重力と反対方向)に距離ベクトル $\mathbf{r}(0, 0, r)$ をとると

$$R_{11}(t, r) = R_{22}(t, r) = U^2(t) g(t, r) \quad , \quad R_{33}(t, r) = U^2(t) f(t, r) \quad \dots \dots \quad (2)$$

図-1に、数値シミュレーションの結果得られる乱流場の $U^2(t)$ 、 $g(t, r)$ 、 $f(t, r)$ を用いて式(2)により示される速度相関関数の時間的变化を示す。

[3] 粒子運動方程式の数値積分および粒子の拡散係数

乱流中における单球形粒子の運動方程式として、粒子と流体の相対速度による抵抗の項に Stokes 抵抗を用い、Basset 項を小さく²⁾と仮定し無視した次式を用いる。

$$dU_p/dt + aU_p = aU_f + b dU_f/dt + c g \delta_{13} \quad \dots \dots \quad (3)$$

ここに、 ρ_p : 粒子密度、 ρ_f : 流体密度、 U_p : 粒子速度、 U_f : 流体速度、 d : 粒径、 g : 重力加速度、さらに各係数は $a = 36\nu/(2\rho_p/\rho_f + 1)d^2$ 、 $b = 3/(2\rho_p/\rho_f + 1)$ 、 $c = -(p_f/\rho_f - 1)/(p_f/\rho_f + 1/2)$ である。式(3)を数値積分する際の初期条件として、500個の粒子の初期位置 $\mathbf{a}(x, y, z)$ は各方向毎に区間 $[0, l]$ の一様乱数により与え、初速度 $U_p(a, 0) = U_f(a, 0)$ を与えた。粒子の軌跡は式(3)を前進差分計算し得られる。その際に必要な粒子移動位置 $\mathbf{x}(a, t)$ における流体速度 $U_f(x(a, t), t)$ は、スペクトル法によつて数値シミュレーションされた流体速度の線形補間により求めた。数値計算に用いた粒子は、比重 2.65、粒径 $150 \mu\text{m}$ 、 $200 \mu\text{m}$ 、 $250 \mu\text{m}$ である。

図-2に式(3)の数値積分の結果得られる粒子の拡散係数 $D_p(t)$ を示す。まず、粒子の拡散係数はこの範囲の粒径について、粒径の増加とともに減少する。これは、式(3)において、粒径 d の増加により係数 $a(1/\text{sec})$ が減少し、 aU_f 、流体の乱れによる効果が小さくなる為である。次に同一粒径において

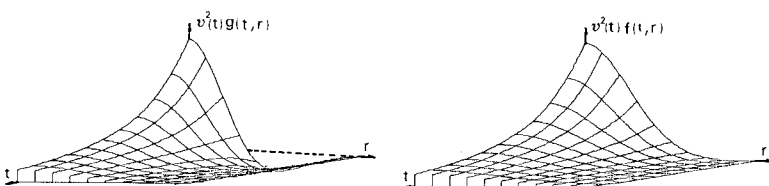


図-1 空間的速度相関関数の時間的变化

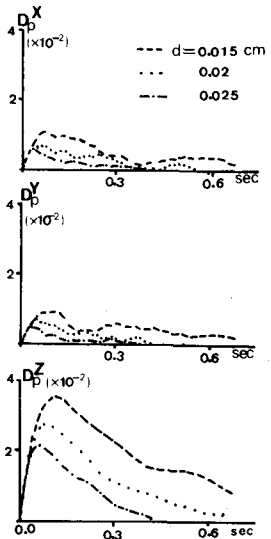


図-2 粒子の拡散係数

乙方向の拡散係数は、 X, Y 方向の拡散係数より大きな値をとる。即ち、一様等方性乱流場を重力沈降する微細粒子の拡散係数は、乙方向に異方性をもつといふ数値計算結果が得られた。

[4] 微細粒子のLagrange速度相関

ここでは、上述で得られた乙方向の拡散係数の異方性についての考察を行う。拡散係数 $D_p(t)$ は、粒子の Lagrange 速度相関関数 $R_{pp}(t, \tau)$ によって最終的に評価される。そこでまず、粒子速度変動 $U_p(t)$ 、流体速度変動 $U_f(t)$ により表わされる次の4つの相関関数をとり扱う。

$$(A) R_{ff(i)}(t, \tau) = \langle U_{f,i}(t) U_{f,i}(t+\tau) \rangle \quad (B) R_{fp(i)}(t, \tau) = \langle U_{f,i}(t) U_{p,i}(t+\tau) \rangle \quad \dots \quad (4)$$

$$(C) R_{pf(i)}(t, \tau) = \langle U_{p,i}(t) U_{f,i}(t+\tau) \rangle \quad (D) R_{pp(i)}(t, \tau) = \langle U_{p,i}(t) U_{p,i}(t+\tau) \rangle$$

ここに、 $\langle \cdot \rangle$ は ensemble 平均を示し、また式(4)では i に関する和の規約は適用されない。式(4)の各々の相関関数は、変動速度に関する粒子運動方程式

$$dU_p/dt + aU_p = aU_{f,i} + b dU_{f,i}/dt \quad \dots \quad (5)$$

より導かれる速度相関方程式に表される。即ち式(5)の $t=t+\tau$ の時に成立する式の両辺に $U_p(t)$ を乘じ ensemble 平均をとると

$$\partial R_{ff(i)} / \partial \tau + a R_{ff(i)} = a R_{ff(i)} + b \partial R_{ff(i)} / \partial \tau \quad \dots \quad (6)$$

同様に $R_{pp(i)}(t, \tau)$ についても

$$\partial R_{pp(i)} / \partial \tau + a R_{pp(i)} = a R_{pp(i)} + b \partial R_{pp(i)} / \partial \tau \quad \dots \quad (7)$$

相関方程式(6)の右辺の (X, Y, Z) 各方向の相関 $R_{ff(i)}$ の構造にもとづいて、各方向の相関 $R_{pp(i)}$ が評価される。次に $R_{ff(i)}(t, \tau) = R_{ff(i)}(t+\tau, -\tau)$ の関係を用い式(7)より最終的に $R_{pp(i)}$ の相関構造を得る。従って、 $R_{pp(i)}$ は、式(6)の右辺の $R_{ff(i)}$ の相関構造に強く依存する。

$R_{ff(i)}(t, \tau)$ について $R_{ff(i)}$ は、時刻 t ごとに位置 $\mathbf{x}(a; t)$ にいた粒子近傍の流体速度 $U_{f,i}(\mathbf{x}(a; t), t)$ と、 τ 時間後の粒子の沈降位置 $\mathbf{x}(a; t+\tau)$ 近傍の流体速度 $U_{f,i}(\mathbf{x}(a; t+\tau), t+\tau)$ との自己相関である。この $R_{ff(i)}$ は、粒子が終末沈降速度 w_0 で乙方向と逆向きに沈降していると仮定すれば、図-3 に示すように、時間にしても τ 、距離にしても $r = w_0 \tau$ で離れた 2 点間の流体速度の相関 $\bar{R}_{ff(i)}(t, \tau)$ によく似似できる。従って、 $\bar{R}_{ff(i)}(t, \tau)$ は、図-1 において任意の τ を固定し、 $r = w_0 \tau$ の曲線上での空間的速度相関式(2)により次のように表される。

$$\bar{R}_{ff(i)}(t, \tau) = \bar{R}_{ff(i)}(t, \tau) = U^2(t+\tau) f(t+\tau, w_0 \tau) \quad \dots \quad (8)$$

$$\bar{R}_{ff(i)}(t, \tau) = U^2(t+\tau) f(t+\tau, w_0 \tau) \quad \dots \quad (9)$$

図-4 に粒径 $200 \mu\text{m}$ の場合の式(8)、(9)の $\bar{R}_{ff(i)}$ と実際の数値計算による $R_{ff(i)}$ (式(4)の(A))との比較を示す。粒子の沈降は、実際、変動分を含むので $\bar{R}_{ff(i)}$ と $R_{ff(i)}$ との間に多少の差異が認められるが、 X, Y 方向と乙方向の相関構造のちがいは、式(8)、(9)によつて十分評価し得る。

$R_{pp(i)}(t, \tau)$ について 図-5 に、式(8)、(9)の $\bar{R}_{ff(i)}$ を相関方程式(6)に代入し、式(6)、(7)の差分近似により得られる $R_{pp(i)}$ と実際の数値計算による $R_{pp(i)}$ (式(4)の(D))との比較を示す。 X, Y 方向の \bar{R}_{pp} (あるいは R_{pp}) に横速度相関係数 $g(t, \tau)$ 、乙方向の \bar{R}_{pp} (あるいは R_{pp}) に縦速度相関係数 $f(t, \tau)$ の相関構造による効果が表わされている。

[5] おわりに

本報で得られた結果を要約すると

- 重力沈降する粒子近傍の流体速度に関する相関は、 X, Y 方向と乙方向では異なる相関構造をもつ。
- 速度相関方程式より得られる沈降性粒子の乙方向の Lagrange 速度相関は、 X, Y 方向の相関に比べ長い正の相間をもつ。
- 一様等方性乱流中ににおける沈降性粒子の乙方向の拡散係数は、 X, Y 方向の拡散係数より大きな値をとる。

参考文献

1) 上田・神野・柳井・前浜：一様等方性乱流の数値計算、九大工学集報、第55巻、第1号、1982

2) 林・大橋：流体中を沈降する粒子の乱流特性について、水理講演集、1980

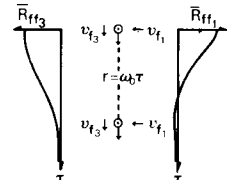


図-3 粒子の沈降過程

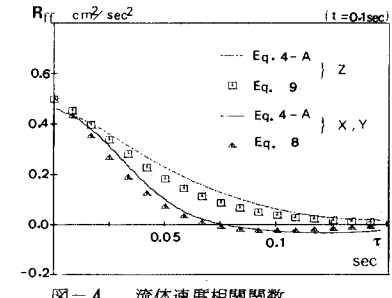


図-4 流体速度相関関数

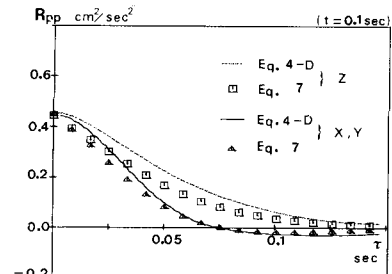


図-5 粒子のLagrange速度相関関数